

Produkcija fotona u visokoenergijskim proton-jezgra sudarima

Marija Jakelić

Mentor: doc. dr. sc. Sanjin Benić

Fizički odsjek, PMF, Bijenička cesta 32, 10 000 Zagreb

25.1.2020.

Sažetak

U ovom seminaru predstavljeno je stanje hadronske materije koje se naziva staklasti kondenzat boje. Nadalje, računa se udarni presjek za produkciju fotona u proton-jezgra sudarima, pod pretpostavkom da je jezgra u saturacijskom režimu. Pokazuje se, da zbog jakog klasičnog polja jezgre $O(1/g)$, bremsstrahlung dijagrami postaju dominantni. Također, pokazati će se da udarni presjek procesa ovisi o efektima saturacije.

1 Koordinate svjetlosnog stošca

Neka je $x^\mu = (x^0, x^1, x^2, x^3)$ kontravarijantni četverovektor. Koordinate svjetlosnog stošca definiramo kao:

$$x^\pm = \frac{1}{\sqrt{2}}(x^0 \pm x^3), \quad (1)$$

dok sa $x_\perp = (x^1, x^2)$ označavamo transverzalne koordinate. Skalarni produkt dvaju četverovektora je:

$$p \cdot x = p^- x^+ + p^+ x^- - \mathbf{p}_\perp \cdot \mathbf{x}_\perp. \quad (2)$$

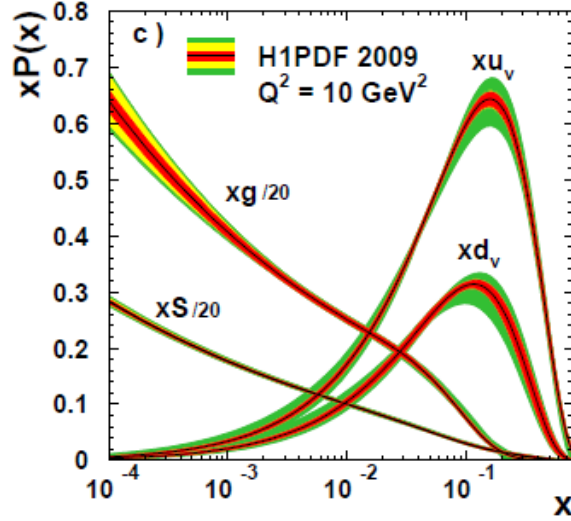
Pritom se koristi metrika $\eta_{\mu\nu} = \text{diag}(1, -1, -1, -1)$.

2 Staklasti kondenzat boje

Pri teorijskom opisu hadronskih interakcija jedan od problema je evolucija partonskih gustoća u području gdje je frakcija impulsa x mala. U svrhu boljeg razumijevanja problema, promotrimo duboko neelastično raspršenje (deep inelastic scattering ili DIS) elektrona i hadrona. Fizikalne veličine, poput udarnog presjeka, možemo izraziti pomoću Lorentz invarijantnih varijabli: x frakcije impulsa partona u hadronu, kvadrata četveroimpulsa virtualnog fotona $q^2 = -Q^2 < 0$, neelastičnosti y , i energijom u sustavu centra impulsa s . One, prema [10] zadovoljavaju relaciju $x = Q^2/sy$. Za fiksnu vrijedost y , možemo razmotriti dva asimptotska limesa u DIS-u. Prvi je Bjorkenov limes, koji odgovara slučaju fiksnog x sa $Q^2, s \rightarrow \infty$. Drugi limes nazivamo Regge-Gribov i predstavlja slučaj fiksnog $Q^2, x \rightarrow 0$ i $s \rightarrow \infty$.

U Bjorkenovoj granici, u sustavu beskonačnog impulsa (IMF), hadron je razrjeđen sustav valentnih kvarkova i "wee" partona - kvarkova mora i gluona malog x . Iako je, na visokim energijama, broj "wee" partona veliki, hadron je razrjeđen zbog male gustoće faznog prostora pri $Q^2 \rightarrow \infty$. U ovom slučaju, u odnosu na iznos izmjenjenog impulsa virtualnog fotona, vrijedi standardna podjela na tvrdo (hard) i meko (soft) raspršenje. Evoluciju partonskih distribucijskih funkcija s $\tau = \ln(Q^2/\Lambda_{QCD})$ opisuju jednačbe koje nazivamo DGLAP [7].

U Regge-Gribovoj granici, hadronsku strukturu, u visokoenergijskim sudarivačima, možemo istražiti za $Q^2 \geq 1 \text{ GeV}^2$. Rezultati dobiveni na HERA DIS-u su prikazani na slici (1). Vidimo nagli rast gluonskih distribucijskih funkcija $xG(x, Q^2)$ sa smanjivanjem vrijednosti x -a. U IMF-u, $xG(x, Q^2)$ je broj gluona čija je transverzalna površina $\delta S_{\perp} \geq 1/Q^2$ i frakcija longitudinalnog impulsa $k^+/P^+ \sim x$.



Slika 1: Partonske distribucijske funkcije, HERA DIS, $Q^2=10 \text{ GeV}^2$

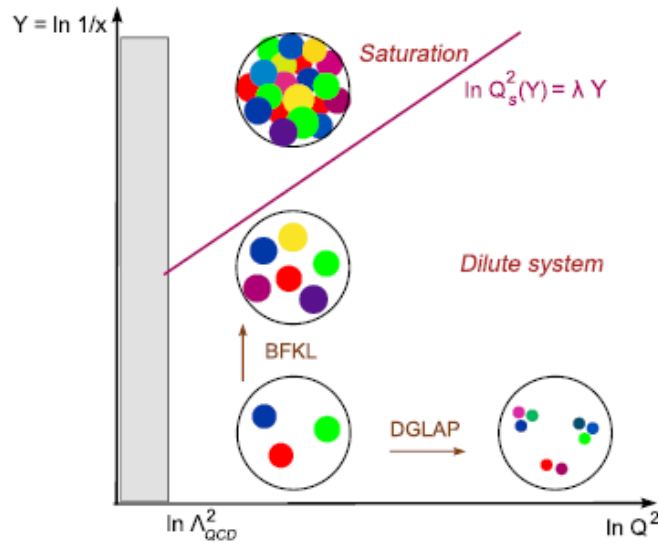
Jednadžbe koje opisuju evoluciju partonskih distribucijskih funkcija s $Y=\ln(1/x)$ nazivamo BFKL jednadžbe [5]. One predviđaju rast gluonskih distribucijskih funkcija sa smanjivanjem x -a. No, gluonske distribucijske funkcije ne mogu rasti do beskonačno velikih vrijednosti, jer se time krši unitarnost teorije. Stoga je predloženo, da na dovoljno malim vrijednostima x -a, nelinearna dinamika glatkih (gluonskih) polja boje zaustavi rast i time očuva unitarnost. Ovo nazivamo saturacija gluonskih distribucija na malim vrijednostima x -a. U evolucijskim jednadžbama QCD-a saturacija je predstavljena nelinearnim članovima koji ovise o gustoći [3]. U saturacijskom režimu, prikazanom na lijevoj strani slike (2), hadron je gusta nakupina gluona.

Saturacijski efekti dovode do pojave nove dinamičke skale transverzalnog impulsa, koju nazivamo saturacijskom skalom $Q_s(x)$, koja raste sa opadanjem x -a. Možemo ju definirati preko gluonskog okupacijskog broja, kao liniju duž koje je isti konstantan i reda $1/\alpha_s$, tj. $Q_s^2 \sim \alpha_s x G(x, Q_s^2)/\pi R^2$. Iz ovoga vidimo da vrijedi $Q_s^2 \sim A^{1/3}$. Stoga, za velike jezgre s atomskim brojem $A \gg 1$, saturacijski efekti se pojave na manjim vrijednostima x -a u odnosu na proton.

Dinamika gluona u saturacijskom režimu je neperturbativna, što je karakteristično za jako korelirane sustave. Međutim, na dovoljno visokim energijama (ili dovoljno malom x) vrijedi:

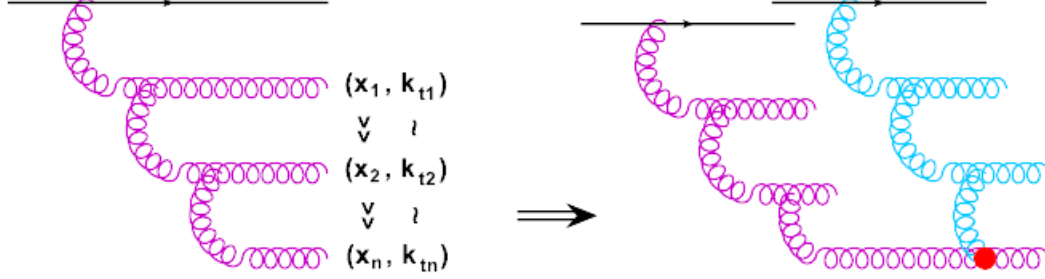
$$Q_s^2(x) \gg \Lambda_{QCD}^2, \quad (3)$$

i $\alpha(Q_s^2) \ll 1$. Ovo predlaže korištenje metode slabog vezanja [8] kod računanja dinamike.



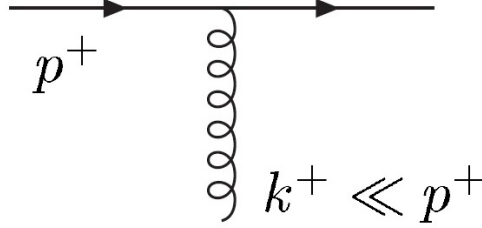
Slika 2: Fazni dijagram kvantne kromodinamike. Obojene točke predstavljaju partone s $\delta S_{\perp} \sim 1/Q^2$ i s longitudinalnim impulsom $k^+=xP^+$.

Praktično i fenomenološki najbolji opis kvantne kromodinamike u saturacijskom režimu je staklasti kondenzat boje (Colour Glass Condensate ili CGC). Jedna od pretpostavki je da gluonske gustoće odgovaraju jakim klasičnim poljima, što dopušta računanje hadronskih i nuklearnih valnih funkcija na malom x klasičnim tehnikama. Nadalje, nelinearni (o gustoći ovisni) članovi su povezani sa unitarnošću teorije, i prikladnim odabirom sustava i baždarenja, mogu se interpretirati kao gluonski rekombinacijski procesi koji zaustavljaju rast gluonskih gustoća. Primjer jednog takvog procesa je dan na slici (3).



Slika 3: Rekombinacijski proces

Staklasti kondenzat boje je efektivna teorija polja temeljena na razdvajanju stupnjeva slobode na brze izvore boje $\rho(x)$ i spora dinamička polja boje A^μ . Skalu koja ih razdvaja zadajemo s Λ_+ . Spori (soft) gluoni, koje ćemo opisati poljima A^μ , imaju impuls $k^+ < \Lambda_+$, dok brzi izvori boje imaju $k^+ > \Lambda_+$. Brzi izvori mogu ili emitirati ili apsorbirati gluone, ali u prvoj aproksimaciji oni ne odstupaju od svojih trajektorija $x^- = 0$ (eikonal aproksimacija [6]), te ih ne smatramo dinamičkim modovima. Možemo pokazati da gluoni vide izvore kao statične tokom određenog vremenskog intervala. Razmotrimo emitiranje gluona prikazano na slici (4).



Slika 4: Emisija gluona

Za njega vrijedi $\Delta x^+ \simeq 1/k^+ = 2k^+/k_\perp^2$, što je puno manje od $1/p^+$. Drugim rječima, budući da emitirani gluoni evoluiraju jako brzo u odnosu na brze partone, oni vide njihovu konfiguraciju kao smrznutu tokom određenog vremenskog intervala. Iako smrznuti, izvori nasumično variraju od događaja do događaja. Sva informacija o njima nalazi se u funkcionalu $W_{\Lambda_+}[\rho]$, koji daje vjerovatnost određene konfiguracije izvora u hadronu na skali Λ_+ . U McLerran-Venugopalan (MV) modelu on glasi [1]:

$$W_{MV}[\rho] \equiv \exp \left[- \int dx^- d^2 \mathbf{x}_\perp \frac{\rho_a(x^-, \mathbf{x}_\perp) \rho^a(x^-, \mathbf{x}_\perp)}{2\mu^2(x^-)} \right], \quad (4)$$

gdje je $\mu^2(x^-)$ gustoća naboja po nukleonu, povezana sa saturacijskom skalom [1]:

$$Q_s^2 = \frac{g^2 C_F}{2\pi} \mu_A^2, \quad (5)$$

gdje je μ_A^2 gustoća naboja po jedinici transverzalne površine dobivena integracijom: $\int dx^- \mu(x^-)$. Gaussova distribucija vjerovatnosti vodi na trivijalnu korelaciju:

$$\rho^a(x_\perp, x^-) \rho^b(y_\perp, y^-) = \delta^{ab} \delta(x_\perp - y_\perp) \delta(x^- - y^-) \mu_A^2 \quad (6)$$

Da bi izračunali bilo koju fizikalnu observablu, moramo napraviti prosjek po svim mogućim konfiguracijama boje izvora:

$$\langle A[\rho] \rangle_\rho = \int [\mathcal{D}\rho] W[\rho] A[\rho], \quad (7)$$

3 Klasično polje

Buduća da imamo veliki okupacijski broj gluona u faznom prostoru, lako se vidi da kvantni efekti postaju zanemarivi:

$$N = a^\dagger a \sim \frac{1}{\alpha_s} \gg [a^\dagger, a] \sim 1 \quad (8)$$

Klasična Yang-Mills jednadžba za gluone glasi:

$$[D_\nu, F^{\nu\mu}] = J^\mu, \quad (9)$$

gdje je:

$$F^{\nu\mu} = F_a^{\nu\mu} t^a, \quad F_a^{\nu\mu} = \partial^\nu A_a^\mu - \partial^\mu A_a^\nu + g f_{abc} A_b^\mu A_c^\nu, \quad (10)$$

i $J^\mu = J_a^\mu t^a \in \text{SU}(N_c)$. Za jezgru koja se giba brzinom bliskoj brzini svjetlosti u pozitivnom z smjeru, izvor ima strukturu [4]:

$$J^\mu(x^-, \mathbf{x}_\perp) = \delta^{\mu+} g \rho(x^-, \mathbf{x}_\perp) \quad (11)$$

Nadalje, koristeći identitet $[D_\mu, [D_\nu, F^{\mu\nu}]] = 0$, tj. kovarijantnu očuvanost struje $[D_\nu, J^\nu] = 0$ dobivamo:

$$J^+(x^+, x^-, \mathbf{x}_\perp) = g W(x^+, x^-, \mathbf{x}_\perp) \rho(x^-, \mathbf{x}_\perp) W^\dagger(x^+, x^-, \mathbf{x}_\perp), \quad (12)$$

gdje je:

$$W(x^+, x^-, \mathbf{x}) = \text{T exp} \left(i g \int_{x_0^+}^{x^+} dy^+ A^-(y^+, x^-, \mathbf{x}_\perp) \right) \quad (13)$$

Wilsonova linija s uključenim vremenskim poretkom, jer operatori eksponentu ne komutiraju[1]. $\rho(x^-, \mathbf{x}_\perp)$ je vrijednost struje u nekom početnom trenutku x_0^+ , $\rho(x^-, \mathbf{x}_\perp) \equiv J^+(x_0^+, x^-, \mathbf{x}_\perp)$.

Sada Yang-Millsovu jednadžbu za polje $A^\mu(x)$ možemo zapisati kao:

$$[D_\nu, F^{\nu\mu}](x) = \delta^{\mu+} g W(x) \rho(x^-, \mathbf{x}_\perp) W^\dagger(x) \quad (14)$$

Koristeći $A^+ = 0$ (light-cone gauge) i pretpostavku da je fizika invarijantna na translaciju duž osi gibanja jezgre x^+ ($\partial^- = 0$), može se naći rješenje Yang-Mills jednadžbe za koje vrijedi $A^- = 0$ (i stoga $W=1$). Eksplicitno, imamo:

$$[D_i, F^{ij}] = 0, \quad (15)$$

$$[D_i, \partial^+ A^i] = -J^+. \quad (16)$$

Iz jednadžbe (15) vidimo da su transversalne komponente polja čista baždarna polja. Stoga, možemo pisati:

$$A^i(x^-, \mathbf{x}_\perp) = \frac{i}{g} V(x^-, \mathbf{x}_\perp) \partial^i V^\dagger(x^-, \mathbf{x}_\perp), \quad (17)$$

gdje je $V \in \text{SU}(N_c)$. Za daljne pojednostavljenje računa koristimo transformaciju:

$$A^\mu \rightarrow \tilde{A}^\mu = V A^\mu V^\dagger \frac{i}{g} V \partial V^\dagger. \quad (18)$$

što vodi na:

$$\tilde{A}^- = \tilde{A}^i = 0 \quad (19)$$

$$\tilde{A}^+ = \frac{i}{g} V^\dagger \partial^+ V. \quad (20)$$

Yang-Millsova jednadžba (16) sada postaje:

$$-g \nabla_\perp^2 \tilde{A}^+ = -g \tilde{\rho}, \quad (21)$$

gdje je $\tilde{\rho} = V \rho V^\dagger$ izvor u novom baždarenju. Ova jednadžba ima strukturu 2-dimenzionalne Poissonove jednadžbe s izvorom $\tilde{\rho}$. Stoga možemo pisati:

$$V(x^-, \mathbf{x}_\perp) = \text{T exp} \left\{ -i g^2 \int_{x_0^-}^{x^-} dz^- \frac{1}{\nabla_\perp^2} \tilde{\rho}_a(z^-, \mathbf{x}_\perp) t^a \right\} \quad (22)$$

Možemo fiksirati $x_0^- = -\infty$. Nadalje, primjetimo da je izvor različit od nule u intervalu $0 \leq x^- \leq 1/\Lambda^+$. Dakle $V=1$ za $x_0^- < 0$. Za $x_0^- > 0$, možemo prema [10], koristiti aproksimaciju trenutnog doprinosa integralu oko $x^- = 0$, na sljedeći način:

$$A^i(1/\Lambda_+, \mathbf{x}_\perp) = A^i(+\infty, \mathbf{x}_\perp) \quad (23)$$

Transverzalno klasično gluonsko polje tada možemo zapisati kao:

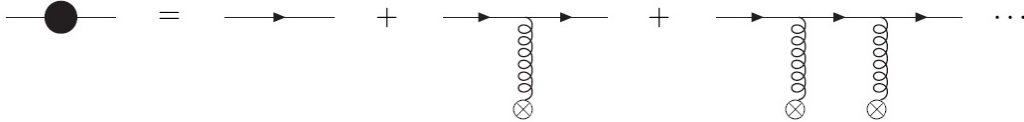
$$A^i(x^-, \mathbf{x}_\perp) = \theta(x^-) \frac{i}{g} U(\mathbf{x}_\perp) \partial^i U^\dagger(\mathbf{x}_\perp), \quad (24)$$

gdje je:

$$U(\mathbf{x}_\perp) \equiv \text{T exp} \left\{ -ig^2 \int_{-\infty}^{\infty} dz^- \frac{1}{\nabla_\perp^2} \tilde{\rho}_a(z^-, \mathbf{z}_\perp) t^a \right\}. \quad (25)$$

4 Fermionski propagator u polju jezgre

Fermionska Greenova funkcija (propagator) $G_F(x,y)$ u polju jezgre prikazana je na slici (5).



Slika 5: Dijagramski prikaz propagatora, tj. interakcija s pozadinskim poljem jezgre

Crna točka na lijevoj strani jednakosti označava interakciju u svim redovima, a znak \otimes prikazuje da se ne radi o običnom qqG-vrhu, nego o međudjelovanju s klasičnim poljem.

Fermionski propagator možemo izračunati koristeći formulu:

$$G_F(x, y) = i \int \frac{d^4 q}{(2\pi)^4} \frac{1}{q^2 - m^2 + i\epsilon} \sum_{s,a} \psi_q^{s,a}(x) \bar{\psi}_q^{s,a}(y), \quad (26)$$

gdje je q impuls čestice, a s i a su indeksi spinora i boje, respektivno. Valne funkcije $\psi(x)$ dobijemo rješavanjem Diracove jednadžbe s umetnutim pozadinskim poljima. Nakon spajanja rješenja u $x^- = 0$, dobije se izraz koji možemo naći u [9]. Njegovim umetanjem u formulu (26) i nakon kovarijantne baždarne transformacije dobivamo izraz za propagator koji glasi:

$$G_F(x, y) = G_F^0(x - y) + \int d^4 z \delta(z^-) [\theta(x^-) \theta(-y^-) (U^\dagger(z_\perp) - 1) - \theta(-x^-) \theta(y^-) (U(z_\perp) - 1)] G_F^0(x - z) \gamma^- G_F^0(z - y), \quad (27)$$

gdje je G_F^0 slobodni Feynmanov propagator kvarka, a $U(z_\perp)$ je dana izrazom (25).

Prethodni izraz za propagator možemo napisati u impulsnom prostoru:

$$G_F(q, p) = (2\pi)^4 \delta^4(q - p) G_F^0(p) + G_F^0(p) \mathcal{T}_F(q, p) G_F^0(p), \quad (28)$$

gdje je matrica interakcije $\mathcal{T}_F(q, p)$ dana izrazom [10]:

$$\mathcal{T}_F(q, p) = (2\pi) \delta(q^- - p^-) \gamma^- \text{sign}(p^-) \int d^2 z_\perp [U^{\text{sign}(p^-)}(z_\perp) - 1] e^{i(\mathbf{q}_\perp - \mathbf{p}_\perp) \cdot \mathbf{z}_\perp} \quad (29)$$

5 Produkcija fotona u pA sudarima

5.1 Amplituda

U ovom dijelu promatramo proces:

$$q(p) + A \rightarrow q(q) \gamma(k) A. \quad (30)$$

Pritom pretpostavljamo da je jezgra dovoljno velika za stvaranje prethodno opisanog klasičnog gluonskog polja (staklasti kondenzat boje). Pritom proton opisujemo na standardan naćn, partonskim distribucijskim funkcijama. Efektivno promatramo proces $q \rightarrow q\gamma$ u klasićnom bojnem polju jezgre.

Amplituda procesa je dana izrazom:

$$\langle q(q) \gamma(k),_{out} | q(p),_{in} \rangle = \langle 0,_{out} | a_{out}(k) b_{out}(q) b_{in}^+(p) | 0,_{in} \rangle$$

koji, koristeći LSZ formalizam, možemo zapisati kao:

$$\begin{aligned} \langle q(q)\gamma(k)_{,out} | q(p)_{,in} \rangle &= \frac{e}{Z_2\sqrt{Z_3}} \int d^4x d^4y d^4z e^{i(kx+qz-py)} \bar{u}(\mathbf{q})(i\overleftrightarrow{\partial}_z - m) \\ &\times \langle 0_{,out} | T\psi(z)\varepsilon \cdot J(x)\bar{\psi}(z) | 0_{,in} \rangle (i\overleftarrow{\partial}_y + m)u(\mathbf{p}), \end{aligned} \quad (31)$$

gdje je e električni naboj kvarka, $J^\mu(x) \equiv \bar{\psi}(x)\gamma_\mu\psi(x)$ kvarkovska komponenta elektromagnetne struje, Z_2 i Z_3 su fermionski i fotonski renormalizacijski faktori, respektivno. Budući da u daljnjem računu nećemo gledati korekcije u petljama dijagrama, uzimamo $Z_2=Z_3=1$. Matrični element u izrazu (31), koristeći Wickov teorem, možemo zapisati kao:

$$\langle 0_{,out} | T\psi(z)\bar{\psi}(x)\not{x}\psi(x)\bar{\psi}(y) | 0_{,in} \rangle = -G_F(z, x)\not{x}G_F(x, y), \quad (32)$$

gdje je G_F fermionski propagator u pozadini jakog klasičnog bojnog polja jezgre, zadan izrazom (27). Amplitudu sada možemo zapisati kao:

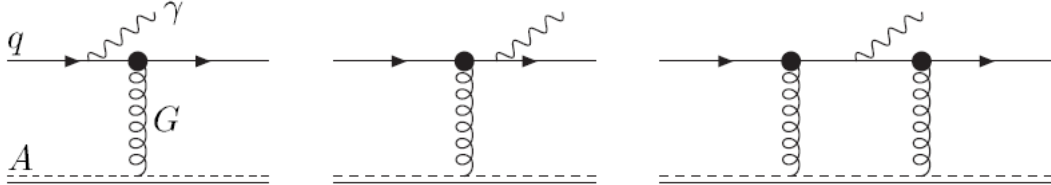
$$\begin{aligned} \langle q(q)\gamma(k)_{,out} | q(p)_{,in} \rangle &= -e \int d^4x d^4y d^4z e^{i(kx+qz-py)} \\ &\times \bar{u}(\mathbf{q})(i\overleftrightarrow{\partial}_z - m)G_F(z, x)\not{x}G_F(x, y)(i\overleftarrow{\partial}_y - m)u(\mathbf{p}). \end{aligned} \quad (33)$$

Prebacivanjem propagatora iz koordinatnog u impulsni prostor Fourierovom transformacijom i koristeći izraz (28) dobivamo:

$$\begin{aligned} \langle q(q)\gamma(k)_{,out} | q(p)_{,in} \rangle &= -e\bar{u}(\mathbf{q})[(2\pi)^4\delta^4(k+q-p)\not{x} \\ &+ \mathcal{T}_F(q, p-k)G_F^0(p-k)\not{x} + \not{x}G_F^0(q+k)\mathcal{T}_F(q+k, p) \\ &\int \frac{d^4l}{(2\pi)^4} \mathcal{T}_F(q, l)G_F^0(l)\not{x}G_F^0(k+l)\mathcal{T}_F(k+l, p)]u(\mathbf{p}) \end{aligned} \quad (34)$$

Prvi član u izrazu (34) prikazuje situaciju, u kojoj kvark emitira foton, ali ne interagira s jezgrom. On neće imati doprinos u udarnom presjeku, zato jer je delta funkcija jednaka nuli za čestice koje zadovoljavaju "mass-shell" uvjet.

Drugi i treći član, prikazuju slučajeve u kojima kvark interagira s jezgrom prije i poslije emisije fotona, respektivno. Posljednji član prikazuje slučaj u kojem kvark interagira s jezgrom, emitira foton i ponovo interagira s jezgrom. Dijagrami navedenih slučajeva, koje nazivamo bremsstrahlung, nalaze se na slici (5).



Slika 6: Dijagrami za tri procesa navedena u (34). A predstavlja jezgru (CGC) koja stvara pozadinsko polje, q je kvark, γ foton. Crna točka prikazuje interakciju kvarka i jezgre u svim redovima.

Sada ćemo pokazati da je posljednji član u izrazu (34) jednak nuli. Analitički, dovoljno je promotriti strukturu l^+ polova propagatora.

$$\delta(q^- - l^-)\delta(k^- + l^- p^-) \int_{-\infty}^{\infty} dl^+ \frac{1}{k^+ + l^+ - \frac{(k_\perp + l_\perp)^2 + m^2 + i\epsilon}{2(k^- + l^-)}} \frac{1}{l^+ - \frac{l_\perp^2 + m^2 - i\epsilon}{2l^-}} \quad (35)$$

Budući da čestice zadovoljavaju "mass-shell" uvjet, vrijedi $p^- > 0$ i $q^- > 0$. Tada iz delta funkcije slijedi da su $l^- > 0$ i $k^- + l^- > 0$. Iz nazivnika (26) vidimo da su oba pola ispod realne osi. Zatvaranje konture u gornjoj polovici ravnine daje iščezavajući doprinos. Nazivnik je reda (l^2) , što osigurava konvergenciju kada radijus konture puštamo u beskonačnost. Jedina iznimka je pojava članova u broju koji su proporcionalni s l^+ . Oni se pojavljuju u produktu $l = \gamma^+ l^- + \gamma^- l^+ - \gamma_\perp \cdot l_\perp$. No, izraz (35) množimo s obje strane s γ^- , koje dolaze od \mathcal{T}_F (29). Korištenjem identiteta $\gamma^- \gamma^- = 0$ vidimo da ti članovi iščezavaju. Fizikalno, ovakvu situaciju objašnjavamo na sljedeći način. Imamo slučaj u kojem kvark prvo interagira s jezgrom, propagira i emitira foton. Zatim opet propagira i po drugi put interagira s jezgrom. No, jezgra se u našem modelu giba brzinom bliskoj

svjetlosti u pozitivnom z smjeru. Stoga, ne može drugi put interagirati s kvarkom zbog prevelike udaljenosti. Uzevši prethodno navedeno u obzir, amplitudu možemo zapisati kao:

$$\begin{aligned} \langle q(k)\gamma(k),_{out} | q(p),_{in} \rangle &= -ie\bar{u}(\mathbf{q}) \left[\frac{\gamma^-(p-k+m)\epsilon}{(p-k)^2 - m^2} + \frac{\epsilon(q+k+m)\gamma^-}{(q+k)^2 - m^2} \right] u(\mathbf{p}) \\ &\times 2\pi\delta(q^- + k^- - p^-) \int d^2x_\perp e^{i(q_\perp + k_\perp - p_\perp) \cdot x_\perp} (U(x_\perp) - 1). \end{aligned} \quad (36)$$

5.2 Spinski dio amplitude

U izrazu (36), prepoznajemo dio koji ovisi samo o spinu:

$$L \equiv \bar{u}(\mathbf{q}) \left[\frac{\gamma^-(\not{p} - \not{k} + m)\not{\epsilon}}{(p-k)^2 - m^2} + \frac{\not{\epsilon}(\not{q} + \not{k} + m)\gamma^-}{(q+k)^2 - m^2} \right] u(\mathbf{p}) \quad (37)$$

Njegova apsolutna vrijednost na kvadrat, iznosi:

$$\begin{aligned} L^\dagger L &= \bar{u}(\mathbf{p}) \left[\frac{\not{\epsilon}^*(\not{p} - \not{k} + m)\gamma^-}{(p-k)^2 - m^2} + \frac{\gamma^-(\not{q} + \not{k} + m)\not{\epsilon}^*}{(q+k)^2 - m^2} \right] u(\mathbf{q}) \\ &\times \bar{u}(\mathbf{q}) \left[\frac{\gamma^-(\not{p} - \not{k} + m)\not{\epsilon}}{(p-k)^2 - m^2} + \frac{\not{\epsilon}(\not{q} + \not{k} + m)\gamma^-}{(q+k)^2 - m^2} \right] u(\mathbf{p}). \end{aligned} \quad (38)$$

Ovaj izraz moramo uprosječiti po spinu ulazne čestice i sumirati po spinu izlazne čestice i polarizaciji fotona. Nadalje, koristimo Casimirov trik i identitet:

$$\sum_{spin} u(\mathbf{p})\bar{u}(\mathbf{p}) = \not{p} + m \quad (39)$$

i dobivamo:

$$\begin{aligned} \langle \text{tr}(L^\dagger L) \rangle_{spin} &\equiv \frac{1}{2} \text{tr} \left\{ (\not{p} + m) \left[\frac{\not{\epsilon}^*(\not{p} - \not{k} + m)\gamma^-}{(p-k)^2 - m^2} + \frac{\gamma^-(\not{q} + \not{k} + m)\not{\epsilon}^*}{(q+k)^2 - m^2} \right] \right. \\ &\quad \left. \times (\not{q} + m) \left[\frac{\gamma^-(\not{p} - \not{k} + m)\not{\epsilon}}{(p-k)^2 - m^2} + \frac{\not{\epsilon}(\not{q} + \not{k} + m)\gamma^-}{(q+k)^2 - m^2} \right] \right\} \end{aligned} \quad (40)$$

Prethodni izraz možemo pojednostaviti na oblik:

$$\begin{aligned} \langle \text{tr}(L^\dagger L) \rangle_{spin} &= -4m^2 \left[\frac{p^{-2}}{(q \cdot k)^2} + \frac{q^{-2}}{(p \cdot k)^2} + \frac{k^{-2}}{(p \cdot k)(q \cdot k)} \right] \\ &+ 8(p^{-2} + q^{-2}) \left[\frac{p \cdot q}{(p \cdot k)(q \cdot k)} + \frac{1}{q \cdot k} - \frac{1}{p \cdot k} \right]. \end{aligned} \quad (41)$$

5.3 Usrednjavanje po svim vrijednostima boje

U ovom dijelu računamo izraze $\langle U(\mathbf{x}_\perp) \rangle$ i $\langle U(\mathbf{x}_\perp)U(\mathbf{y}_\perp) \rangle$, gdje je $U(\mathbf{x}_\perp)$ dan izrazom (25). Koristeći MV model (7):

$$\begin{aligned} \langle U(\mathbf{x}_\perp) \rangle &= \int [\mathcal{D}\rho] \exp \left[- \int dz^- d^2z_\perp \frac{\rho_a(z^-, \mathbf{z}_\perp)\rho^a(z^-, \mathbf{z}_\perp)}{2\mu^2(z^-)} \right] \\ &\quad \times \exp -ig^2 \int_{-\infty}^{\infty} dz^- \frac{1}{\nabla_\perp^2} \rho_a(z^-, \mathbf{x}_\perp) t^a. \end{aligned} \quad (42)$$

Primjenom:

$$\int dz^- \frac{1}{\nabla_\perp^2} \rho_a(z^-, \mathbf{x}_\perp) t^a = \int dz^- d^2z_\perp \frac{1}{\nabla_\perp^2} \rho_a(z^-, \mathbf{z}_\perp) \delta^{(2)}(\mathbf{x}_\perp - \mathbf{z}_\perp) t^a, \quad (43)$$

i nakon dodatnog sređivanja izraz [2] (42) postaje:

$$\begin{aligned} \langle U(\mathbf{x}_\perp) \rangle &= \int [\mathcal{D}\rho] \exp \left(- Q_s^2 \int d^2z_\perp [G_0(\mathbf{x}_\perp - \mathbf{z}_\perp)]^2 \right) \\ &\quad \times \exp \left(- \int dz^- d^2z_\perp \frac{1}{2\mu^2} (\rho_a + ig^2\mu^2 t_a \frac{1}{\nabla_\perp^2} \delta^{(2)}(\mathbf{x}_\perp - \mathbf{z}_\perp))^2 \right), \end{aligned} \quad (44)$$

$Q_s^2 = g^4 t^a t_a \int dz^- \mu^2 / 2$ predstavlja saturacijsku skalu, a $G_0(\mathbf{x}_\perp - \mathbf{z}_\perp)$ je dvodimenzionalni slobodni propagator. Jednadžbu (44) možemo reducirati, koristeći:

$$\begin{aligned} \frac{\partial^2}{\partial^2 \mathbf{x}_\perp} G_0(\mathbf{x}_\perp - \mathbf{y}_\perp) &= \delta^{(2)}(\mathbf{x}_\perp - \mathbf{y}_\perp) \\ G_0(\mathbf{x}_\perp - \mathbf{y}_\perp) &= \frac{1}{\nabla_\perp^2} \delta^{(2)}(\mathbf{x}_\perp - \mathbf{y}_\perp), \end{aligned} \quad (45)$$

na oblik [2]:

$$\langle U(\mathbf{x}_\perp) \rangle = \exp \left(- Q_s^2 \int d^2 z_\perp [G_0(\mathbf{x}_\perp - \mathbf{z}_\perp)]^2 \right) \quad (46)$$

Analognim postupkom za $\langle U(\mathbf{x}_\perp) U(\mathbf{y}_\perp) \rangle$ dobivamo:

$$\langle U^+(\mathbf{x}_\perp) U(\mathbf{y}_\perp) \rangle = \exp \left(- Q_s^2 \int d^2 z_\perp [G_0(\mathbf{x}_\perp - \mathbf{z}_\perp) - G_0(\mathbf{y}_\perp - \mathbf{z}_\perp)]^2 \right). \quad (47)$$

U dobivene izraze moramo, budući da $\mu(z^-)$ ne ovisi o \mathbf{z}_\perp , uključiti rubne uvjete jezgre. U tu svrhu dovoljno je definirati funkciju $\mathcal{P}(\mathbf{x}_\perp)$, tj. transverzalni profil jezgre. Njezinu vrijednost, budući da nećemo gledati pojave na samim rubovima, možemo aproksimirati s 1 unutar, i 0 izvan jezgre. Sada izraz (46) možemo, zapisati kao:

$$\langle U(\mathbf{x}_\perp) \rangle = 1 - \mathcal{P}(\mathbf{x}_\perp) + \mathcal{P}(\mathbf{x}_\perp) e^{-B_1 \mathbf{x}_\perp}, \quad (48)$$

gdje je:

$$B_1(\mathbf{x}_\perp) \equiv -Q_s^2 \int d^2 z_\perp G_0(\mathbf{x}_\perp - \mathbf{z}_\perp) \sim \frac{Q_s^2}{\Lambda_{QCD}^2} \quad (49)$$

Analognim postupkom [2] dobivamo:

$$\langle U^+(\mathbf{x}_\perp - 1) U(\mathbf{y}_\perp - 1) \rangle = \mathcal{P}(\mathbf{x}_\perp) \mathcal{P}(\mathbf{y}_\perp) [1 + e^{-B_2(\mathbf{x}_\perp - \mathbf{y}_\perp)} - 2e^{-B_1}], \quad (50)$$

gdje je:

$$\begin{aligned} B_2(\mathbf{x}_\perp - \mathbf{y}_\perp) &\equiv Q_s^2 \int d^2 z_\perp [G_0(\mathbf{x}_\perp - \mathbf{z}_\perp) - G_0(\mathbf{y}_\perp - \mathbf{z}_\perp)]^2 \\ &\approx \frac{Q_s^2 (\mathbf{x}_\perp - \mathbf{y}_\perp)^2}{4\pi} \log \left(\frac{1}{|\mathbf{x}_\perp - \mathbf{y}_\perp| \Lambda_{QCD}} \right) \end{aligned} \quad (51)$$

Izrazi (48) i (50) su matrice N_c dimenzionalnoga prostora generatora boje t^a (faktor $t^a t_a$ u Q_s^2). Iako sumiramo po indeksima boje, rezultat ostaje matrica, što vidimo iz:

$$\sum_{a=1}^{N_c^2-1} t_a t^a = \frac{N_c^2 - 1}{2N_c} \mathbf{I}, \quad (52)$$

gdje je \mathbf{I} $N_c \times N_c$ jedinična matrica. Prethodni izraz je ubiti skalar puta jedinična matrica. Nakon sumiranja po početnim i konačnim stanjima kvarka dobivamo faktor N_c . Nadalje, uprosječenjem po početnoj boji kvarka dobivamo N_c u nazivniku, koji se poništava s faktorom dobivenim sumiranjem po stanjima. Stoga, naše rezultate možemo gledati kao skalare u prostoru boje.

5.4 Diferencijalni udarni presjek

U računanju udarnog presjeka potrebno je kvadrirati izraz za amplitudu (36) i integrirati po izlaznim impulsima k^- i p^- . Međutim u izrazu (36) se pojavljuje $\delta(q^- + k^- - p^-)$. U udarnom presjeku, on daje problematičan član $\delta(0^-)$.

Jedan način rješavanja problema je da ulazni kvark umjesto ravnim valom, predstavimo valnim paketom:

$$|\phi_{in}\rangle \equiv \int \frac{d^3 l}{(2\pi)^3} \frac{e^{i\mathbf{b} \cdot \mathbf{l}_\perp}}{\sqrt{2E_l}} \phi(\mathbf{l}) |q(\mathbf{l})_{in}\rangle, \quad (53)$$

gdje je $\phi(\mathbf{l})$ centriran oko vrijednosti p , a \mathbf{b} je ulazni parametar.

Normalizaciju biramo da vrijedi:

$$\langle \phi_{in} | \phi_{in} \rangle = 1 \quad \text{t.j.} \quad \int \frac{d^3 l}{(2\pi)^3} |\phi(\mathbf{l})|^2 = 1. \quad (54)$$

Diferencijal (po jedinici volumena u invarijantnom faznom prostoru konačnih stanja čestica) vjerovatnosti interakcije između valnoga paketa i jezgre je zadan izrazom:

$$dP(b) \equiv \frac{d^3\mathbf{k}}{(2\pi)^3 2k_0} \frac{d^3\mathbf{q}}{(2\pi)^3 2q_0} |\langle q(\mathbf{q})\gamma(\mathbf{k})|\phi_{in}\rangle|^2, \quad (55)$$

i moramo integrirati preko svih mogućih vrijednosti \mathbf{b}_\perp da dobijemo izraz za diferencijalni udarni presjek:

$$d\sigma = \int d^2\mathbf{b} dP(\mathbf{b}). \quad (56)$$

Uvrštavajući (55) u (56) dobiva se:

$$d\sigma = \frac{d^3\mathbf{k}}{(2\pi)^3 2k_0} \frac{d^3\mathbf{q}}{(2\pi)^3 2q_0} \int d^2\mathbf{b} \frac{d^3\mathbf{l}}{(2\pi)^3} \frac{d^3\mathbf{l}^1}{(2\pi)^3} e^{i\mathbf{b}\cdot(\mathbf{l}_\perp - \mathbf{l}_\perp^1)} \frac{\phi(\mathbf{l})}{\sqrt{2E_l}} \frac{\phi(\mathbf{l}^1)^*}{\sqrt{2E_{l^1}}} \times \langle q(\mathbf{q})\gamma(\mathbf{k})_{out} | q(\mathbf{l})_{in} \rangle \langle q(\mathbf{l}^1)_{in} | q(\mathbf{q})\gamma(\mathbf{k})_{out} \rangle. \quad (57)$$

Nadalje, u svrhu rješavanja problematične delta funkcije, definiramo matrični element \mathcal{M} na sljedeći način:

$$\langle q(\mathbf{q})\gamma(\mathbf{k})_{out} | q(\mathbf{l})_{in} \rangle \equiv 2\pi\delta(l^- - q^- - k^-) \mathcal{M}(\mathbf{l}|\mathbf{q}\mathbf{k}) \quad (58)$$

Uvrštavanjem (58) u (57) i integriranjem po \mathbf{b} , \mathbf{l} i \mathbf{l}^1 dobiva se izraz za diferencijalni udarni presjek:

$$d\sigma = \frac{d^3\mathbf{k}}{(2\pi)^3 2k_0} \frac{d^3\mathbf{q}}{(2\pi)^3 2q_0} \frac{1}{2p^-} |\mathcal{M}(\mathbf{l}|\mathbf{q}\mathbf{k})|^2 2\pi\delta(p^- - q^- - k^-) \quad (59)$$

5.5 Inkluzivni udarni presjek

Budući da računamo inkluzivni udarni presjek, amplitudu prvo moramo kvadrirati i onda se radi prosjek po bojama. Dobiva se izraz:

$$|\mathcal{M}(\mathbf{l}|\mathbf{q}\mathbf{k})|_{incl}^2 = e^2 \langle \text{tr}(L^\dagger L) \rangle_{spin} \int d^3\mathbf{x}_\perp d^2\mathbf{y}_\perp e^{i(\mathbf{q}_\perp + \mathbf{k}_\perp - \mathbf{p}_\perp) \cdot (\mathbf{x}_\perp - \mathbf{y}_\perp)} \quad (60)$$

$$\times \mathcal{P}(\mathbf{x}_\perp) \mathcal{P}(\mathbf{y}_\perp) \left[1 + e^{-B_2(\mathbf{x}_\perp - \mathbf{y}_\perp)} - 2e^{-B_1} \right], \quad (61)$$

gdje je $\langle L^\dagger L \rangle$ dan izrazom (38). U LC koordinatama, možemo ga zapisati pomoću izlaznog impulsa p^- i frakcije z , ($z = k^-/p^-$):

$$\langle L^\dagger L \rangle = 8(p^-)^2 (1 + (1 - z)^2) \frac{1 - z}{k_\perp} \frac{[\mathbf{q}_\perp + \mathbf{k}_\perp]^2}{\mathbf{q}_\perp + \mathbf{k}_\perp - \mathbf{k}_\perp/z}. \quad (62)$$

Pritom se, u ultrarelativističkom limesu, zanemaruje masa kvarka i pretpostavlja se da je u početnom trenutku $\mathbf{p}_\perp = 0$.

Primjetimo, iz (49), da B_1 više ne ovisi o transverzalnima koordinatama. Stoga možemo napraviti Fourier transformaciju izraza $\mathcal{P}(\mathbf{x}_\perp) \mathcal{P}(\mathbf{y}_\perp) [1 - 2e^{B_1}]$. Ona će biti centrirana oko vrijednosti $\mathbf{q}_\perp + \mathbf{k}_\perp - \mathbf{p}_\perp = 0$. Kada radijus jezgre pustimo u beskonačno, dobivamo delta funkciju:

$$\hat{\mathcal{P}}(\mathbf{p}_\perp - \mathbf{q}_\perp + \mathbf{k}_\perp) \hat{\mathcal{P}}(\mathbf{p}_\perp + \mathbf{k}_\perp - \mathbf{p}_\perp) \simeq \hat{\mathcal{P}}(0) (2\pi)^2 \delta(\mathbf{p}_\perp - \mathbf{q}_\perp - \mathbf{k}_\perp) = \pi R^2 (2\pi)^2 \delta(\mathbf{p}_\perp - \mathbf{q}_\perp - \mathbf{k}_\perp) \quad (63)$$

$$\hat{\mathcal{P}}(0) = \int d^2x_\perp \mathcal{P}(x_\perp) e^{-i0_\perp \cdot x_\perp} = \pi R^2 \quad (64)$$

Nadalje, iz (60), vidimo da je spinski dio proporcionalan s $[\mathbf{q}_\perp + \mathbf{k}_\perp]^2$. S početnim uvjetom $\mathbf{p}_\perp = 0$ i pomnožen s delta funkcijom iz (63), član $\mathcal{P}(\mathbf{x}_\perp) \mathcal{P}(\mathbf{y}_\perp) [1 - 2e^{B_1}]$ postaje jednak nuli.

Ostaje nam:

$$|\mathcal{M}(\mathbf{l}|\mathbf{q}\mathbf{k})|_{incl}^2 = e^2 \langle \text{tr}(L^\dagger L) \rangle_{spin} \int d^3\mathbf{x}_\perp d^2\mathbf{y}_\perp e^{i(\mathbf{q}_\perp + \mathbf{k}_\perp - \mathbf{p}_\perp) \cdot (\mathbf{x}_\perp - \mathbf{y}_\perp)} \quad (65)$$

$$\times \mathcal{P}(\mathbf{x}_\perp) \mathcal{P}(\mathbf{y}_\perp) e^{-B_2(\mathbf{x}_\perp - \mathbf{y}_\perp)}. \quad (66)$$

Primjetimo da, iz (51), $e^{-B_2(\mathbf{x}_\perp - \mathbf{y}_\perp)}$ daje najveći doprinos kada je \mathbf{x}_\perp jako blizu \mathbf{y}_\perp . Stoga, dok vrijedi $R^{-1} \ll \Lambda_{QCD} \ll Q_s$ i dok zanemarujemo rubne efekte jezge, možemo pisati:

$$\mathcal{P}(\mathbf{x}_\perp) \mathcal{P}(\mathbf{y}_\perp) \approx \mathcal{P}^2(\mathbf{x}_\perp) \approx \mathcal{P}(\mathbf{x}_\perp). \quad (67)$$

Nadalje, promjenom varijabli amplituda postaje:

$$|\mathcal{M}(\mathbf{l}|\mathbf{q}\mathbf{k})|^2 = e^2 \langle \text{tr}(L^\dagger L) \rangle \int d^2 v_\perp \mathcal{P}(\mathbf{v}_\perp) \quad (68)$$

$$\times \int d^2 w_\perp e^{-i(\mathbf{q}_\perp + \mathbf{k}_\perp - \mathbf{p}_\perp) \cdot \mathbf{w}_\perp} e^{-B_2(\mathbf{w}_\perp)} \quad (69)$$

$$= e^2 \langle \text{tr}(L^\dagger L) \rangle \pi R^2 C(\mathbf{p}_\perp - \mathbf{q}_\perp - \mathbf{k}_\perp), \quad (70)$$

gdje smo označili korelator:

$$C(\mathbf{l}_\perp) = \int d^2 l_\perp e^{-i\mathbf{l}_\perp \cdot \mathbf{x}_\perp} e^{-B_2(\mathbf{x}_\perp)} \quad (71)$$

Sada izraz za kvadrat amplitude ubacimo u (59) i dobijemo formulu za inkluzivni udarni presjek:

$$d\sigma_{incl} = \frac{d^3 k}{(2\pi)^3 2k_0} \frac{d^3 q}{(2\pi)^3 2q_0} \frac{e^2 \pi R^2}{2p^-} \langle \text{tr}(L^\dagger L) \rangle \times (2\pi) \delta(p^- - q^- - k^-) C(\mathbf{p}_\perp - \mathbf{q}_\perp - \mathbf{k}_\perp). \quad (72)$$

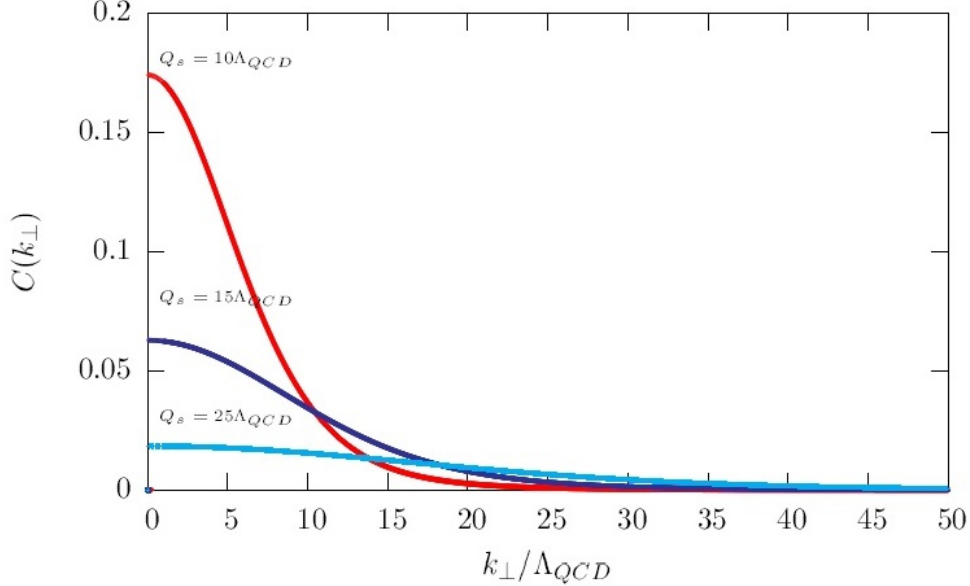
Komplikacija kod integracije pojavljuje se zbog kolinearnih singulariteta. Oni se pojavljuju kada je emitirani foton paralelan s izlaznim kvarkom. Radi konvencije uvodimo zamjenu $\mathbf{l}_\perp \equiv \mathbf{q}_\perp + \mathbf{k}_\perp$ i dobivamo:

$$\frac{1}{\pi R^2} \frac{d\sigma_{incl}}{d^2 \mathbf{k}_\perp} = \frac{e^2}{(2\pi)^5 \mathbf{k}_\perp^2} \int_{z_{min}}^1 dz P_{q \rightarrow q\gamma}(z) \int d^2 l_\perp \frac{l_\perp C(\mathbf{l}_\perp)}{[\mathbf{l}_\perp - \mathbf{k}_\perp/z]^2} \quad (73)$$

gdje je sa $P_{q \rightarrow q\gamma}(z)$ fotonska splitting funkcija u vodećem redu definirana kao [10]:

$$P_{q \rightarrow q\gamma}(z) = \frac{1 + (1-z)^2}{z} \quad (74)$$

$C(\mathbf{l}_\perp)$, na velikim vrijednostima l_\perp se ponaša kao $1/l_\perp^4$. To osigurava konvergenciju integrala na velikim prijenosima impulsa. $C(\mathbf{l}_\perp)$ je i jedini objekt koji ovisi o strukturi bojnih izvora. Drugim riječima to je jedini član koji je osjetljiv na saturacijske efekte. Na slici (7) možemo vidjeti njegovo ponašanje u odnosu na različite saturacijske skale. Vidimo i modifikacije zbog saturacije, za transverzalni impuls manji od Q_s .



Slika 7: Osjetljivost korelatora na različite saturacijske skale. $Q_s/\Lambda_{QCD}=10,15,25$

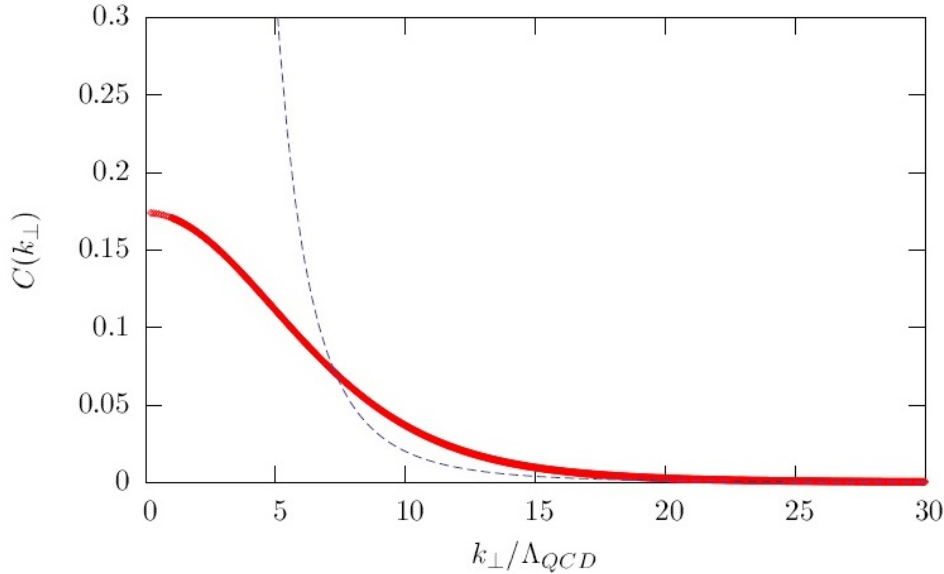
Promotrimo perturbativnu granicu, tj. režim u kojem je impuls l_\perp veliki u odnosu na saturacijski impuls Q_s^2 . U toj granici, prikazanoj na slici (8), imamo [4]:

$$C(\mathbf{l}_\perp) \approx \frac{2Q_s^2}{l_\perp^4}. \quad (75)$$

Koristeći taj rezultat dobiva se:

$$\frac{d\sigma_{pert.}}{d^2 \mathbf{k}_\perp} \propto \frac{N_h}{\mathbf{k}_\perp^2} \int_{z_{min}}^1 dz P_{q \rightarrow q\gamma}(z) \int \frac{d^2 l_\perp}{l_\perp^2 [\mathbf{l}_\perp - \mathbf{k}_\perp/z]^2}, \quad (76)$$

gdje je $N_h \equiv \pi R^2 \int dz^- \mu^2(z^-)$ ukupan broj bojnih izvora u jezgri meti. Ovaj izraz možemo prepoznati kao bremsstrahlung proces, u kojem se kvark raspršuje na partonu unutar jezgre s izmjenom gluona u t-kanalu.



Slika 8: Korelator (puna linija) i njegova asimptotska granica (crtkana linija) $Q_s/\Lambda_{QCD}=20$

6 Zaključak

Ukratko je predstavljena teorija staklastog kondenzata boje. Ona opisuje oblik materije koji se pojavljuje u visokoenergijskim hadron-hadron sudarima i u duboko neelastičnom raspršenju. Pod pretpostavkom da velike gluonske gustoće odgovaraju jakim klasičnim poljima, riješila se klasična Yang-Millsova jednadžba s odgovarajućim izvorom. Nadalje, nađen je izraz za fermionski propagator u tom polju.

Zatim smo izračunali udarni presjek za produkciju fotona u pA sudarima. Pritom smo jezgru opisali staklastim kondenzatom boje, dok za proton nema takve pretpostavke. Pokazali smo da bremsstrahlung dijagrami postaju dominantni od Drell-Yan procesa i od procesa $q\bar{q} \rightarrow g \gamma$. Uzrok tome je prisutnost jakog bojnog polja jezgre $O(1/g)$. Na kraju pokazali smo da udarni presjek procesa ovisi o efektima saturacije.

Literatura

- [1] Javier L Albacete and Cyrille Marquet. Gluon saturation and initial conditions for relativistic heavy ion collisions. *Progress in Particle and Nuclear Physics*, 76:1–42, 2014.
- [2] Kenji Fukushima and Yoshimasa Hidaka. Light projectile scattering off the color glass condensate. *Journal of High Energy Physics*, 2007(06):040, 2007.
- [3] Francois Gelis, Edmond Iancu, Jamal Jalilian-Marian, and Raju Venugopalan. The color glass condensate. *Annual Review of Nuclear and Particle Science*, 60:463–489, 2010.
- [4] François Gelis and A Peshier. Probing colored glass via qq photoproduction. *Nuclear Physics A*, 697(3-4):879–901, 2002.
- [5] Jamal Jalilian-Marian, Alex Kovner, Andrei Leonidov, and Heribert Weigert. The bflk equation from the wilson renormalization group. *Nuclear Physics B*, 504(1-2):415–431, 1997.
- [6] Alex Kovner and Urs Achim Wiedemann. Eikonal evolution and gluon radiation. *Physical Review D*, 64(11):114002, 2001.
- [7] Alan D Martin. Proton structure, partons, qcd, dglap and beyond. *arXiv preprint arXiv:0802.0161*, 2008.
- [8] Larry McLerran. The color glass condensate and small-x physics. In *Lectures on Quark Matter*, pages 291–334. Springer, 2002.
- [9] Larry McLerran and Raju Venugopalan. Fock space distributions, structure functions, higher twists, and small x. *Physical Review D*, 59(9):094002, 1999.

[10] Michael E Peskin. *An introduction to quantum field theory*. CRC press, 2018.